

## ОСОБЕННОСТИ ЯЗЫКА VHDL ДЛЯ ПРОГРАММИРОВАНИЯ КРИСТАЛЛОВ ПЛИС

Рассмотрены особенности языка описания аппаратных средств для программирования структуры преобразователей чисел с плавающей точкой в числа с фиксированной точкой и обратно. Алгоритмы представлены путем поведенческого описания на языке VHDL. Рассмотрены различные конструкции для организации функции сдвига битов регистра и функции доступа к отдельным битам регистра, которые являются базовыми в преобразователях. Верификация преобразователей реализована методом моделирования в системе ModelSim Xilinx Edition - MХЕ II.

### Введение

Решение широкого круга задач требует использования представления чисел в формате с плавающей точкой (ФПТ) вместо формата с фиксированной точкой (ФФТ). Так как основным форматом представления чисел в современных компьютерах является ФФТ, то полный набор операций для чисел ФПТ содержит, кроме арифметических, операции по преобразованию форматов. Функциональные IP-блоки ФПТ находят широкое применение при построении математических сопроцессоров, DSP-процессоров, встроенных арифметических сопроцессоров. В связи с этим рядом фирм разрабатываются собственные IP-блоки для обработки операндов ФПТ (согласно стандарту IEEE-754 [1]) для кристаллов программируемых логических интегральных схем (ПЛИС) FPGA (Field Programmable Gate Array) [2], которые позволяют программировать не только алгоритм обработки данных, но также структуру устройства, реализующего заданный алгоритм. Такие IP-блоки можно легко настраивать в соответствии с требованиями нового проекта, и они, как правило, независимы от технологии изготовления ПЛИС. Наиболее важным свойством готового технического решения является его гарантированное воспроизведение в новом проекте в соответствии со спецификацией, определенной разработчиком этого решения и уточненной разработчиком проекта. Следует отметить, что описание модели с помощью HDL-технологии (Hardware Description Language – язык описания аппаратных средств) позволяет не только сделать ее перенастраиваемой и не-

зависимой от технологии, но и выполнять ее моделирование и синтез с использованием инструментальных средств различных фирм [3]. Благодаря сетевым технологиям проектировщик в соответствии со сформулированными техническими требованиями по сети Internet может получить оптимизированное логическое ядро и включить его в свой проект.

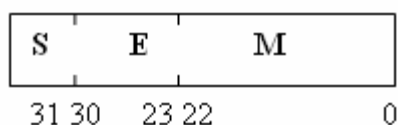
Проектирование и реализация цифровых устройств на современной элементной базе может быть выполнено на ПЛИС. Одним из подходов к проектированию устройства является использование HDL-технологии, которая представляет собой комплекс инструментальных средств САПР и методологию проектирования, ориентированных на описание проекта с помощью языка HDL (VHDL или Verilog). Основными предпосылками для внедрения в практику HDL-технологии являются: внедрение промышленных стандартов, обеспечивающих эффективное и оптимальное проектирование средств электроники и вычислительной техники; увеличение логической емкости элементной базы (например, кристаллы Virtex-4 содержат до 10 млн логических вентилях или 125 тыс. логических ячеек); развитие инструментальных средств САПР и в первую очередь средств автоматического синтеза и верификации. Такие возможности HDL-технологии, как иерархическое проектирование, переносимость библиотек, платформонезависимость, позволяют использовать имеющиеся IP-блоки в качестве макроэлементов для разработки новых технических решений в виде IP-блоков (soft cores).

Если до недавнего времени основным способом описания проектов являлся графический синтез схемы устройства, выполняемый схематическим редактором, то в последнее время предпочтение отдается текстовому описанию, подобному тексту программы. Этим достигается компактность и более строгая формализация описания в соответствии со стандартом используемого языка.

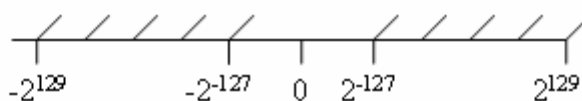
Описание в виде текста на HDL-языке регламентируется соответствующими стандартами. Следует отметить, что синтаксически правильное описание на HDL-языке не всегда может быть синтезировано, т.е. представлено в виде аппаратной модели, полученной после компиляции из HDL-кода. Так, например, не могут быть синтезированы сигналы и переменные типа с плавающей точкой, операторы *Wait* с параметром задержки и т.д. Перечень несинтезируемых элементов во многом зависит от конкретного средства синтеза и типа выбранного кристалла. Некоторые конструкции могут синтезироваться в различных проектах по-разному, к примеру, конструкция *For* может синтезироваться как последовательная комбинационная схема (итерации выполняются последовательно с помощью одного синхросигнала) или как схема, каждая итерация цикла будет выполняться по новому синхросигналу.

**Постановка задачи**

Рассмотрим описание структур, реа-

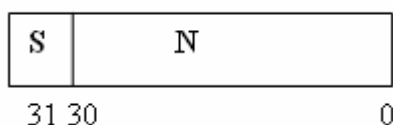


Формат операнда с плавающей точкой

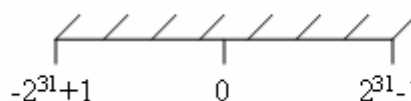


Диапазон допустимых значений операнда

Рис. 1



Формат операнда с фиксированной точкой



Диапазон допустимых значений операнда

Рис. 2

лизирующих преобразование чисел одинарной точности ФПТ в формат ФФТ и обратно посредством языка VHDL. Операнд одинарной точности ФПТ, согласно стандарту IEEE-754, представлен 32 битами: 1 бит для знака, 8 бит для порядка и 23 бита для дроби мантииссы. Данный формат предполагает наличие «скрытого» старшего бита, что позволяет представить истинное значение мантииссы на самом деле 24 битами.

Операнд ФПТ представляется выражением

$$A = (-1)^S \times 2^{E-127} \times 1.M,$$

где  $S$  – знак числа;  $E$  – показатель порядка (смещенный на значение  $b=127$ );  $1.M$  – нормализованная мантиисса.

Формат операнда и диапазон допустимых значений представлен на рис. 1.

Операнд ФФТ представлен 32 битами (1 бит для знака и 31 бит для модуля целого числа) и определяется выражением

$$A = (-1)^S \times N,$$

где:  $S$  – знак числа;  $N$  – значение целого числа.

Формат операнда и диапазон допустимых значений представлен на рис. 2.

Диапазон допустимых значений операнда ФФТ меньше диапазона допустимых значений операнда ФПТ.

Преобразователь чисел ФПТ в ФФТ должен генерировать флаг ошибки при выходе за диапазон допустимых значений операнда ФФТ, а при преобразовании числа

ФФТ в ФПТ может наблюдаться некоторая погрешность, так как мантисса числа ФПТ ограничена 24 битами, а модуль числа ФФТ содержит 31 бит.

### Описание преобразователей на языке VHDL

Числа ФФТ и ФПТ, рассматриваются как 32-разрядные бит–векторы. В качестве входного операнда используется бит–вектор *a*, в качестве выходного – *b*. Вводятся дополнительные переменные: *a1*, *a\_inv1*, *a\_inv*, *ind*, *i*, *b\_x*, *count*, *M\_i*, *M\_u*, которые относятся к разным типам данных и имеют определенные назначение.

*Преобразование чисел ФФТ в ФПТ.*

Рассмотрим реализацию преобразователя ФПТ, который основан на базовых конструкциях языка VHDL.

Процесс описания преобразователя состоит из 5 этапов.

1. С помощью конструкции *if* формируется дополнительная переменная *a1*, в которой число представлено в прямом коде.

2. С помощью конструкции *For* определяется индекс бита, в котором первый раз встречается единица при просмотре *a1* слева направо (от старших значащих бит к младшим).

3. С помощью трех конструкций *if* формируется мантисса числа ФПТ.

4. Определяется значение порядка числа ФПТ.

5. Значения знакового бита числа ФФТ записываются в знаковый бит числа ФПТ.

Как было описано выше, не все коды, полученные в результате описания, могут быть синтезированы в системе САПР ПЛИС. Например, конструкции, в которых в качестве индексов при доступе к бит–вектору, использовались переменные, не по-

```

b(31 downto 0)<="00000000000000000000000000000000";
if a(30 downto 0)="00000000000000000000000000000000" then
    a1(30 downto 0):=a(30 downto 0);
else
    if a(31)='0' then
        a1(30 downto 0):=a(30 downto 0);
    else
        a_inv1:=conv_integer(a(30 downto 0))-1;
        a_inv(30 downto 0):=conv_std_logic_vector(a_inv1,31);
        a1(30 downto 0):=not(a_inv(30 downto 0));
    end if;
end if;

ind:=31;
for i in 30 downto 0 loop
    if a1(i)='1' then
        ind:=i;
        if ind<24 and ind>0 then
            b(22 downto 23-ind)<=a1(ind-1 downto 0);
        end if;
        if ind>23 then
            b(22 downto 0)<=a1(ind-1 downto ind-23);
        end if;

        b(30 downto 23)<=conv_std_logic_vector(127+ind,8);
        exit;
    end if;
end loop;

b(31)<=a(31);
rdy<='0';

```

зволяють проходити етап синтеза в ранніх версіях САПР Xilinx ISE Foundation.

Преобразователь ФФТ в ФПТ может быть модифицирован, этап, в котором формируется мантисса числа ФПТ, может быть вынесен из конструкции *For*, данный подход реализован в преобразователе ФП2.

Одним из способов организации устройства может быть использование конструкции *Case* (машины состояний). Принцип конструкции состоит в том, что в каждом состоянии выполняются заданные операции и определяется переход к следующему состоянию. Операции в каждом состоянии выполняются по новому синхросигналу. Данный подход используется в том случае, когда требуется уменьшить длительность синхросигнала, что приводит к увеличению аппаратных затрат. В конструкции *Case* легко организовать любые циклы, в том числе с переменным количеством итераций, что не всегда возможно при использовании конструкции *For*, которая позволяет использовать ограниченное количество итераций.

На основе указанных свойств рассмотрим реализацию преобразователя ФП3. Преобразователь представляет машину состояний, имеющую семь состояний, связанных между собой условными переходами. Переход в первое состояние происходит с помощью оператора присвоения “*state <=SI;*” Последующие переходы осуществляются после выполнения операции данного состояния. В последнем состоянии (седьмом) выполняются операции и устройство переходит в ожидание нового сигнала загрузки “*load='1'*”.

*Преобразование чисел ФПТ в ФФТ.*

Рассмотрим реализацию преобразователя ПФ2. Он генерирует флаг ошибки “*error\_x<='1'*” при выходе за диапазон допустимых значений операнда ФФТ.

Процесс описания преобразователя состоит из 7 этапов.

1. С помощью двух конструкций *if* отбираются все числа ФПТ, значение порядка которых не входит в допустимый диапазон  $127 \leq E \leq 157$ . Числа ФПТ, значение порядка которых больше 157, выходят за диапазон допустимых значений числа ФФТ, а числа, степень порядка которых

меньше 127, при преобразовании в ФФТ представляются нулевым значением.

2. Значения знакового бита числа ФПТ записывается в знаковый бит числа ФФТ.

3. С помощью операции присвоения в дополнительную переменную *b\_x* записывается значение мантиссы числа ФПТ вместе со скрытым битом.

4. Значение *ind* – число, которое определяет количество сдвигов вправо (в сторону младших значащих бит) дополнительной переменной.

5. Выполняется сдвиг вправо с помощью *SHR*-функции, которая входит в пакет *STD\_LOGIC\_UNSIGNED*.

6. Анализируется знак дополнительной переменной и осуществляется ее перевод в дополнительный код.

7. Значение дополнительной переменной присваивается выходному регистру в качестве результата.

Альтернативой функции сдвига *SHR* может быть анализ переменной *ind* и перезапись части бит-вектора входного операнда *a* в бит-вектор выходного операнда *b*. Данный подход, реализованный в преобразователе ПФ1, характеризуется использованием переменных в качестве индексов бит-вектора и представляется только последними версиями САПР Xilinx ISE Foundation.

Преобразователь чисел ФПТ в ФФТ может быть представлен как машина, имеющая четыре состояния. Этот подход, реализован в преобразователе ПФ3.

Вход в первое состояние осуществляется по сигналу загрузки “*load='1'*”. Данное состояние реализует анализ входного операнда в ФПТ: если операнд может быть представлен в формате с ФФТ, то осуществляется переход в состояние 2, в противном случае – переход в состояние 3. В состоянии 2 непосредственно реализуется преобразование операндов.

Аппаратные (в пересчете на количество слайсов, которые определяют логическую сложность кристалла ПЛИС) и временные оценки для предложенных реализаций модулей преобразователей форматов представлены в табл. 1.

Для варианта ФП3 время преобразования ( $T_{\min} = 20$  нс) имеет место только в

```

if load='1' then
    rdy<='1';
    i:=0;
    state <= S1;
end if;
case state is
when S1 =>
    if a(30 downto 0)='00000000000000000000000000000000' then
        state <= S7;
    else
        b(30 downto 0)<="00000000000000000000000000000000";
        if a(31)='0' then a1(30 downto 0):=a(30 downto 0);
        else a_inv1:=conv_integer(a(30 downto 0))-1;
        a_inv(30 downto 0):=conv_std_logic_vector(a_inv1,31);
        a1(30 downto 0):=not(a_inv(30 downto 0));
        end if;
        state <= S2;
    end if;
when S2 =>
    for ind in 30 downto 0 loop
        if a1(ind)='1' then
            i:=ind;
            state <= S3;
            exit;
        end if;
    end loop;
when S3 =>
    if i=0 then
        b(0)<='1';
        state <= S6;
    else state <= S4;
    end if;
when S4 =>
    if i<24 then
        b(22 downto 23-i)<=a1(i-1 downto 0);
        state <= S6;
    else
        state <= S5;
    end if;
when S5 =>
    b(22 downto 0)<=a1(i-1 downto i-23);
    state <= S6;
when S6 =>
    b(30 downto 23)<=conv_std_logic_vector(127+i,8);
    b(31)<=a(31);
    rdy<='0';
when S7 =>
    b(31 downto 0)<=a(31 downto 0);
    rdy<='0';
when others =>
    null;
end case;

```

```

rdy<='1';
error_x<='0';
b_x(31 downto 0):="00000000000000000000000000000000";
  if a(30 downto 23)>="01111111" then
    if a(30 downto 23)>"10011101" then
      error_x<='1';
    else
      b_x(31):=a(31);
      b_x(30 downto 7):='1'&a(22 downto 0);
      ind:=157-conv_integer(a(30 downto 23));
      count:=conv_unsigned(ind,5);
      M_i:=conv_integer(b_x(30 downto 0));
      M_u:=conv_unsigned(M_i,31);
      M_u:=SHR(M_u,count);
      b_x(30 downto 0):=conv_std_logic_vector(M_u,31);

      if b_x(31)='1' then
        b_inv(30 downto 0):=not(b_x(30 downto 0));
        b_inv1:=conv_integer(b_inv(30 downto 0))+1;
        b_x(30 downto 0):=conv_std_logic_vector(b_inv1,31);
      end if;
    end if;
  else
    error_x<='1';
  end if;

b(31 downto 0)<=b_x(31 downto 0);
rdy<='0';

```

том случае, если значение исходного операнда представляется нулевым значением, т. е. вероятность этого случая есть  $(1/2^{31})$ , во всех остальных случаях время преобразования определяется величиной  $T_{\max} = 60$  нс.

Для варианта ПФЗ время преобразования ( $T_{\min} = 16$  нс) имеет место только в том случае, если значение степени порядка не входит в диапазон представления результирующего операнда ФФТ, т. е. вероятность этого случая есть  $(1/(2^8 - 2^5 + 1))$ , во всех остальных случаях время преобразования определяется величиной  $T_{\max} = 24$  нс.

### Верификация преобразователей

Верификация предложенных структур преобразователей осуществлена методом моделирования в системе ModelSim Xilinx Edition - МХЕ II. В табл. 2 представлены результаты верификации процесса преобразования массива входных операндов ФФТ в ФПТ, а также, для

большой наглядности, десятичные значения этих чисел.

В табл. 3 приведены результаты верификации процесса преобразования массива входных операндов ФПТ в ФФТ, а также десятичные значения этих чисел и значения флага 'Ошибка' (Er). Этот флаг принимает значение "1" (когда результат выходит за диапазон представления допустимых значений операнда в ФФТ) и значение "0" (результат входит в диапазон представления допустимых значений операнда в ФФТ).

### Задача выбора оптимальной структуры

В результате синтеза имеем несколько структурных реализаций алгоритма преобразования форматов ФП1, ФП2, ФП3 для преобразования ФФТ в ФПТ и ПФ1, ПФ2, ПФ3 для обратного преобразования форматов. Решение задачи выбора оптимальной структурной ПЛИС-реализации алгоритма не может быть определено стро-

```

if load='1' then
    rdy<='1';
    error_x<='0';
    b_x(31 downto 0):='00000000000000000000000000000000';
    state <= S1;
end if;
case state is
when S1 =>
    if a(30 downto 23)>='01111111' and a(30 downto 23)<='10011101' then
        state <= S2;
    else state <= S3;
    end if;
when S2 =>
    ind:=157-conv_integer(a(30 downto 23));
    count:=conv_unsigned(ind,5);
    M_i:=conv_integer('1'&a(22 downto 0)&'0000000');
    M_u:=conv_unsigned(M_i,31);
    M_u:= SHR(M_u,count);
    b_x(30 downto 0):=conv_std_logic_vector(M_u,31);
    if a(31)='1' then
        b_inv(30 downto 0):=not(b_x(30 downto 0));
        b_inv1:=conv_integer(b_inv(30 downto 0))+1;
        b_x(30 downto 0):=conv_std_logic_vector(b_inv1,31);
    end if;
    state <= S4;
when S3 =>
    error_x<='1';
    b(31 downto 0)<=b_x(31 downto 0);
when S4 =>
    b(31)<=a(31);
    b(30 downto 0)<=b_x(30 downto 0);
    rdy<='0';
when others =>
    null;

```

гими аналітичними цільовими функціями. Крім того, необхідно учитивати наявність досить потужного ряду кристалів ПЛИС, кожна з яких складається з багатьох кристалів, відрізняються швидкістю, споживаною

потужністю, логічною ємністю, типом корпусу, кількістю виводів і іншими важливими параметрами.

Цільова функція в аналітичному вигляді може бути знайдена одним з наближених методів. Найбільш поширені-

Таблиця 1. Апаратні та часові оцінки модулів преобразователів форматів

Тип модуля	Кількість слайсів	Період синхросигналов Clk (нс)	Час реалізації операції преобразовання форматів (нс)	
			T <sub>min</sub>	T <sub>max</sub>
ФП1	396	19	19	19
ФП2	290	23	23	23
ФП3	390	14	2*10=20	6*10=60
ПФ1	248	16	16	16
ПФ2	109	14	14	14
ПФ3	153	14	2*8=16	3*8=24

**Таблиця.2. Результати верифікації преобразования ФФТ в ФПТ**

Значения входных операндов ФФТ в дополнительном коде	Значения входных операндов (десятичные)	Значения выходных операндов ФПТ	Значения выходных операндов (десятичные)
00000000000000000000000000000000	0	00000000000000000000000000000000	0
10000000000000000000000000000100	-2147483644	11001110111111111111111111111111	-2147483520
00000000000000000000000000001000	16	01000001100000000000000000000000	16
0000000000000000000000000001000000	64	01000010100000000000000000000000	64
1000000000000000000000000100000000	-2147483392	110011101111111111111111111111110	-2147483392
0000000000000000000000001000000001	1025	01000100100000000010000000000000	1025
000000000000000000000000100000000100	4100	01000101100000000010000000000000	4100
00000000000000000000000010000000010000	16400	01000110100000000010000000000000	16400
1000000000000000000000000100000000	-2147418048	1100111011111111111111110111111111	-2147417984
1000000000000000000000000100000000	-2147221248	1100111011111111111111110111111110	-2147221248
0000000000000000000000001000000001	1049601	01001001100000000010000000001000	1049601
00000000010000000000100000000100	4198404	01001010100000000010000000001000	4198404
10000001000000000100000000010000	-2130690032	1100111011111111011111111101111111	-2130689920
00000100000000010000000001000000	67174464	01001100100000000010000000001000	67174464
10010000000001000000000100000000	-1878785792	1100111011101111111111011111111110	-1878785792

**Таблиця.3. Результати верифікації преобразования ФПТ в ФФТ**

Значения входных операндов ФПТ	Значения входных операндов (десятичные)	Значения выходных операндов ФФТ в дополнительном коде	Er	Значения выходных операндов (десятичные)
00000000000000000000000000000000	0	00000000000000000000000000000000	1	0
01000000110000000000000000000000	6	00000000000000000000000000000110	0	6
11000001110000000000000000000000	-24	111111111111111111111111111101000	0	-24
01000010010000000000000000000000	48	0000000000000000000000000110000	0	48
01001010010000000000000000000000	3145728	00000000011000000000000000000000	0	3145728
11000110010000000000000000000000	-12288	1111111111111111111101000000000000	0	-12288
01001011010000000000000000000000	12582912	00000001100000000000000000000000	0	12582912
01000111010000000000000000000000	49152	00000000000000011000000000000000	0	49152
11000111110000000000000000000000	-98304	11111111111111110100000000000000	0	-98304
01001000010000000000000000000000	196608	00000000000001100000000000000000	0	196608
01001000110000000000000000000000	393216	00000000000011000000000000000000	0	393216
11001011110000000000000000000000	-251165824	11111110100000000000000000000000	0	-251165824
11001110110000000000000000000000	-1610612736	10100000000000000000000000000000	0	-1610612736
01001111110000000000000000000000	6442450944	00000000000000000000000000000000	1	0

ними являются методы линейной или нелинейной интерполяции и экстраполяции по нескольким опорным точкам. Эти точки (структурные реализации алгоритма) получают путем предварительного формирования вариантов реализаций алгоритма или взяты из набора, имеющих в составе САПР, готовых CORE - ядер.

Из множества этих точек, где каждой  $l$  - й точке соответствует ПЛИС-реализация с параметрами  $\langle T_l, Q_l \rangle$ , формируется множество Парето мощностью  $M$  на плоскости  $T - Q$  с учетом соотношений

$$T_1 \leq T_2 \leq \dots \leq T_l \leq \dots \leq T_m;$$

$$Q_1 \geq Q_2 \geq \dots \geq Q_l \geq \dots \geq Q_m.$$

В общем виде задача выбора оптимального варианта реализации алгоритма

сводится к минимизации функционала

$$L_l = \alpha T_l + \beta Q_l \Rightarrow \min \tag{1}$$

с учетом ограничений

$$\begin{cases} T_l \leq T_0; \\ Q_l \leq Q_0, \end{cases} \tag{2}$$

где  $\alpha, \beta$  – весовые коэффициенты, которые могут быть определены, например, методом экспертных оценок;  $T_0, Q_0$  – заданные предельные значения параметров  $T_l$  и  $Q_l$ .

Если заданным ограничениям (2) удовлетворяет единственная точка множества Парето, то реализация, соответствующая этой точке, является результирующей. Если ограничениям (2) удовлетворяют несколько таких точек, то необходимо минимизировать функционал (1).



### Выводы

Рассмотренные особенности конструкций языка VHDL позволяют сделать вывод о том, что при поведенческом описании структур для преобразования форматов не все конструкции могут быть использованы для ввода проекта в САПР ПЛИС, так как этап синтеза в этих системах не поддерживает полный набор конструкций. Использование инструментальных средств FPGA Express и программ размещения и трассировки системы Xilinx Foundation Series позволило осуществить синтез и реализацию преобразователей в кристалле XCV600E-BG432-8, аппаратные и временные оценки которых приведены в табл.1. Полученное множество реализаций позволяет выбрать оптимальный вариант структурной реализации преобразования форматов по критериям аппаратных и временных затрат. По результатам анализа табл. 1 можно сделать следующие выводы. Для преобразования ФФТ в ФПТ вариант ФП1 является самым быстродействующим, при этом требует для реализации наибольшего количества слайсов. Вариант ФП2 является менее быстродействующим по сравнению с ФП1 и аппаратных затрат требуется меньше. Вариант ФП3 для T(макс) по сравнению с вариантом ФП1 требует меньшего количества слайсов и является более медленным, но по сравнению с вариантом ФП2 реализуется большими аппаратными затратами и является еще медленнее, поэтому эта реализация может быть исключена из дальнейшего рассмотрения. Вариант ФП3 для T(мин) по сравнению с вариантом ФП1 требует меньше слайсов и обладает меньшим быстродействием, но по сравнению с вариантом ФП2 требует больших аппаратных затрат и меньшего времени преобразования.

Для преобразования ФПТ в ФФТ вариант ПФ2 по сравнению с вариантами ПФ1 и ПФ3 обладает самым высоким быстро-

действием, при этом для его реализации используется наименьшее количество слайсов. Поэтому варианты ПФ1 и ПФ3 могут быть исключены из дальнейшего рассмотрения. Это связано с использованием функции сдвига вправо SHR, которая входит в пакет STD\_LOGIC\_UNSIGNED.

Синтезированные преобразователи верифицированы методом моделирования в системе ModelSim Xilinx Edition - MХЕ II с помощью стенда для проверки, что подтверждает правильность их функционирования.

1. *Hollash S.* IEEE Standard 754 Floating Point Numbers / Available. - [http:// IEEE / IEEE Standard 754 Floating-Point.htm](http://IEEE/IEEE%20Standard%20754%20Floating-Point.htm).
2. *Xilinx Data Book 2004* / Available. - [http:// support.xilinx.com /partinfo /databook.htm](http://support.xilinx.com/partinfo/databook.htm).
3. *VHDL'93.* IEEE Standard VHDL Language Reference Manual. IEEE Std 1076-1993. – 289 p.

*Получено 21.09.05*

### Об авторах

*Опанасенко Владимир Николаевич*  
канд. техн. наук, ст. науч. сотрудник

### Место работы автора

Институт кибернетики им. В.М. Глушкова  
Киев, просп. Акад. Глушкова, 40  
Тел.(сл.). (044) 526 2598  
Тел. (дом.). (044) 530 7091  
E-mail: vlopanas@ukr.net

### Лисовый Александр Николаевич

студент

### Место работы автора

Национальный авиационный университет  
Киев, просп. Комарова, 1  
Тел.(сл.). (044) 526 2598  
Тел. (дом.). (044) 402 9341  
E-mail: vlopanas@ukr.net